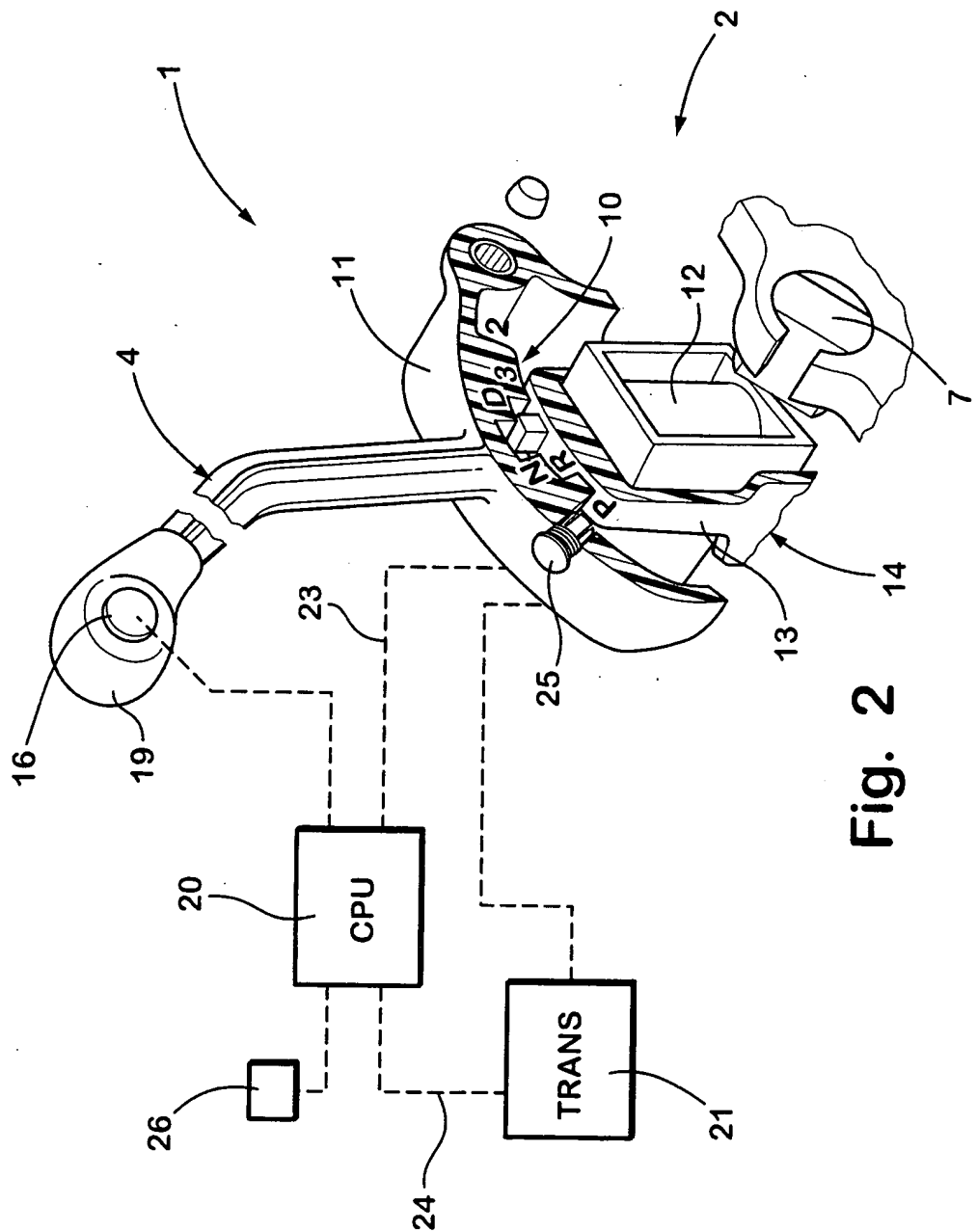


Fig. 1



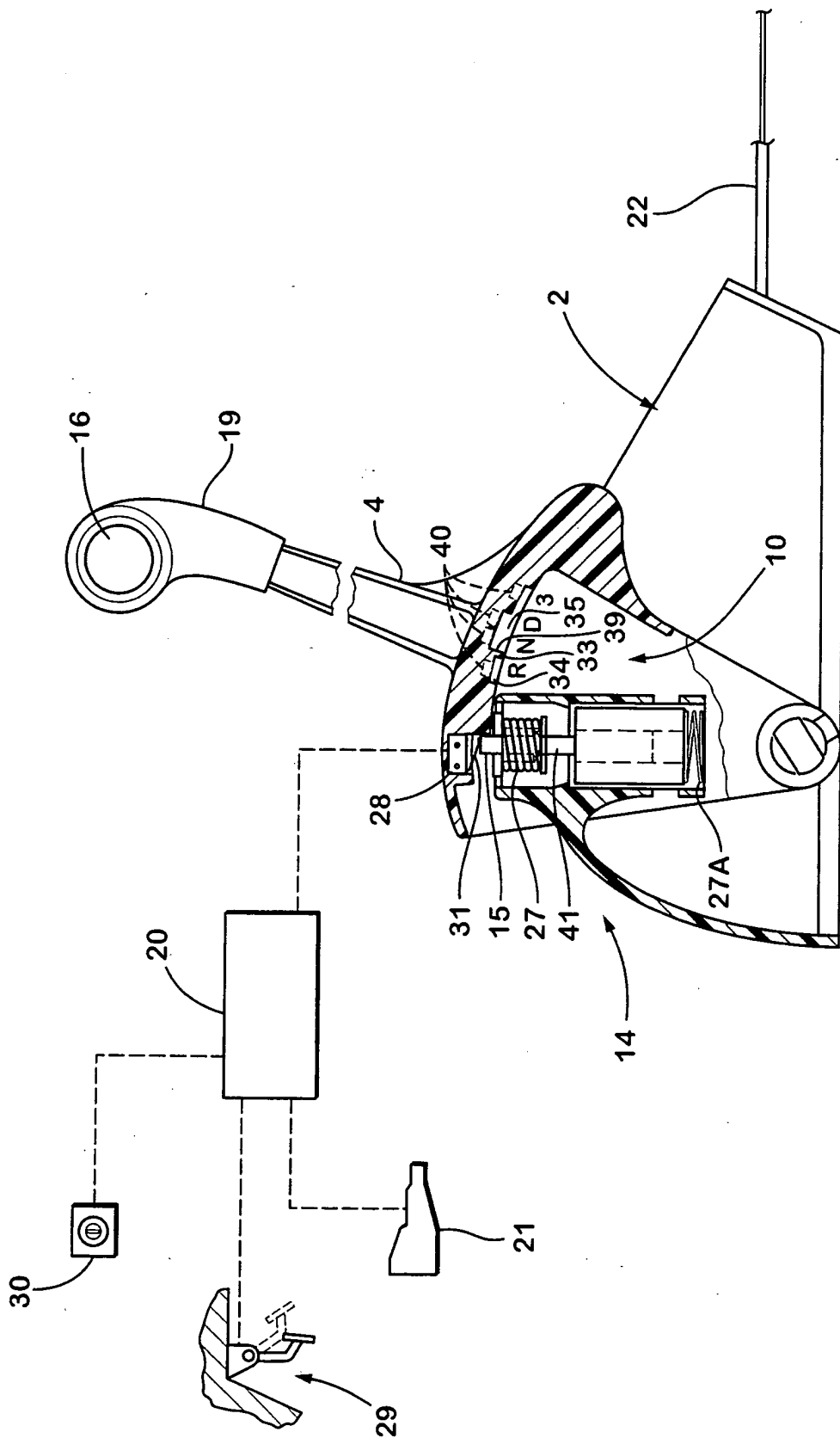


Fig. 3

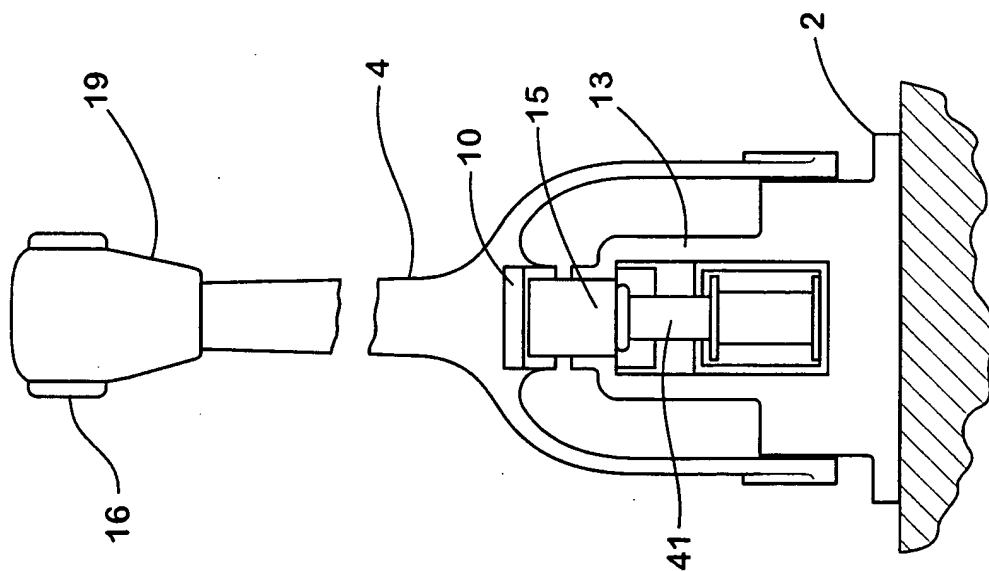


Fig. 4

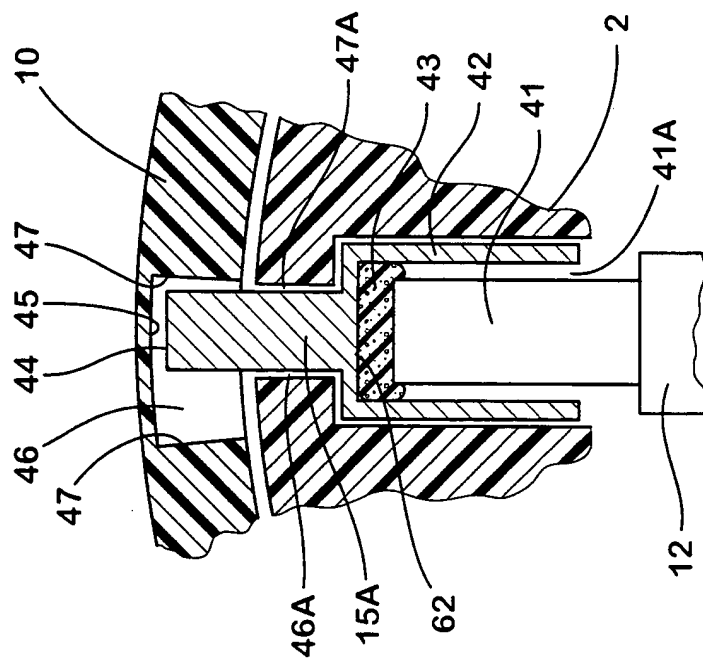


Fig. 5

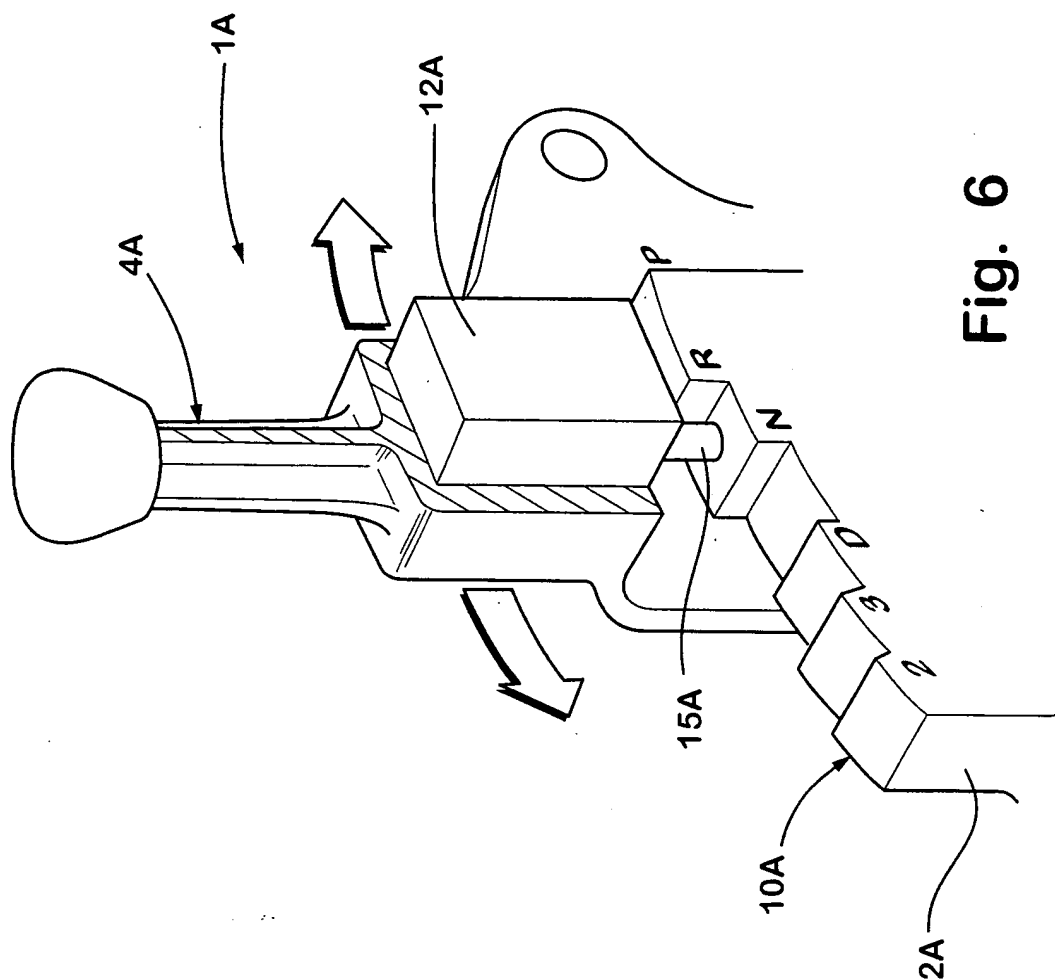


Fig. 6

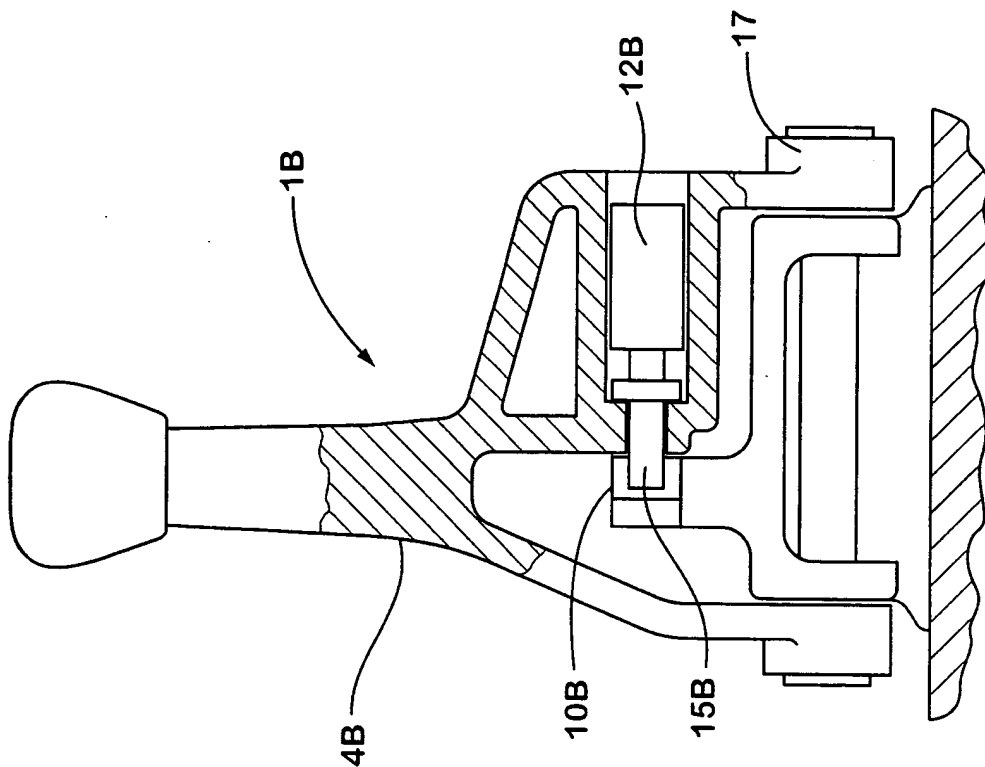


Fig. 8

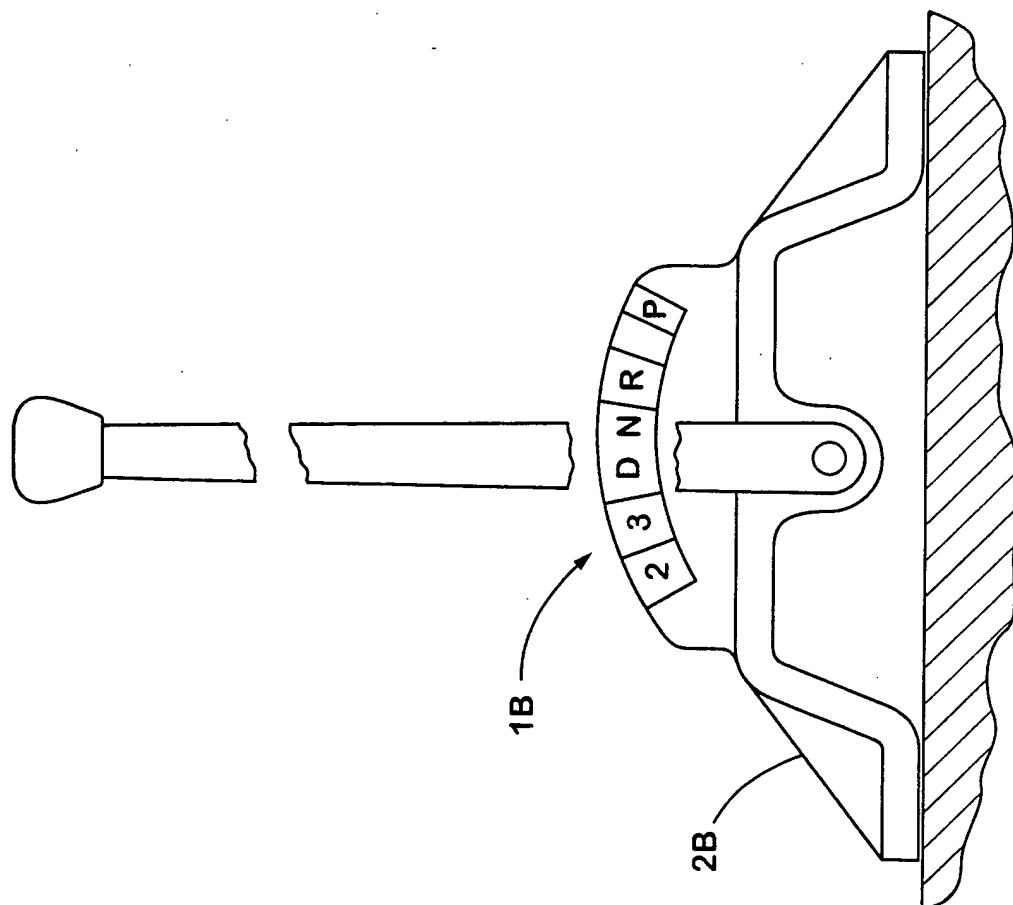


Fig. 7

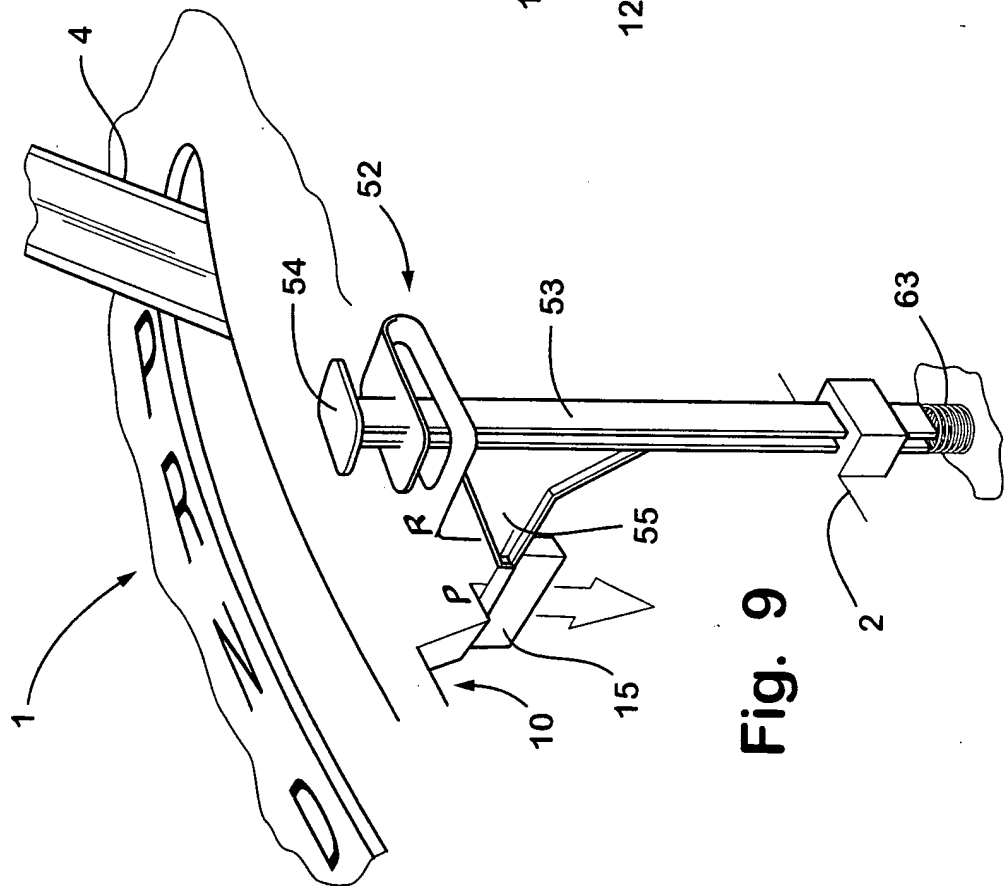


Fig. 9

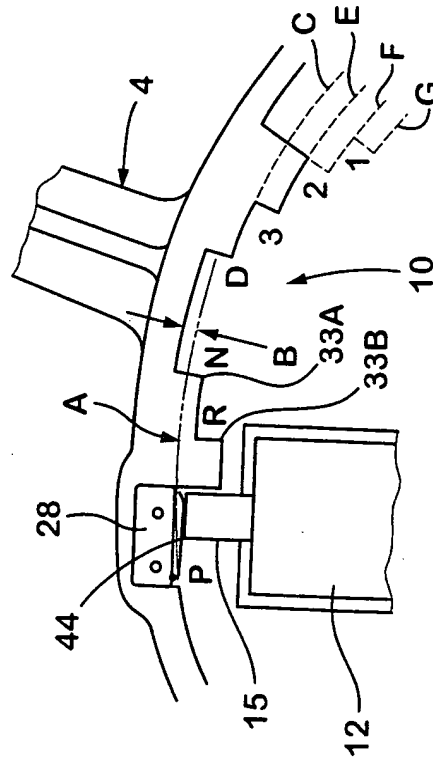
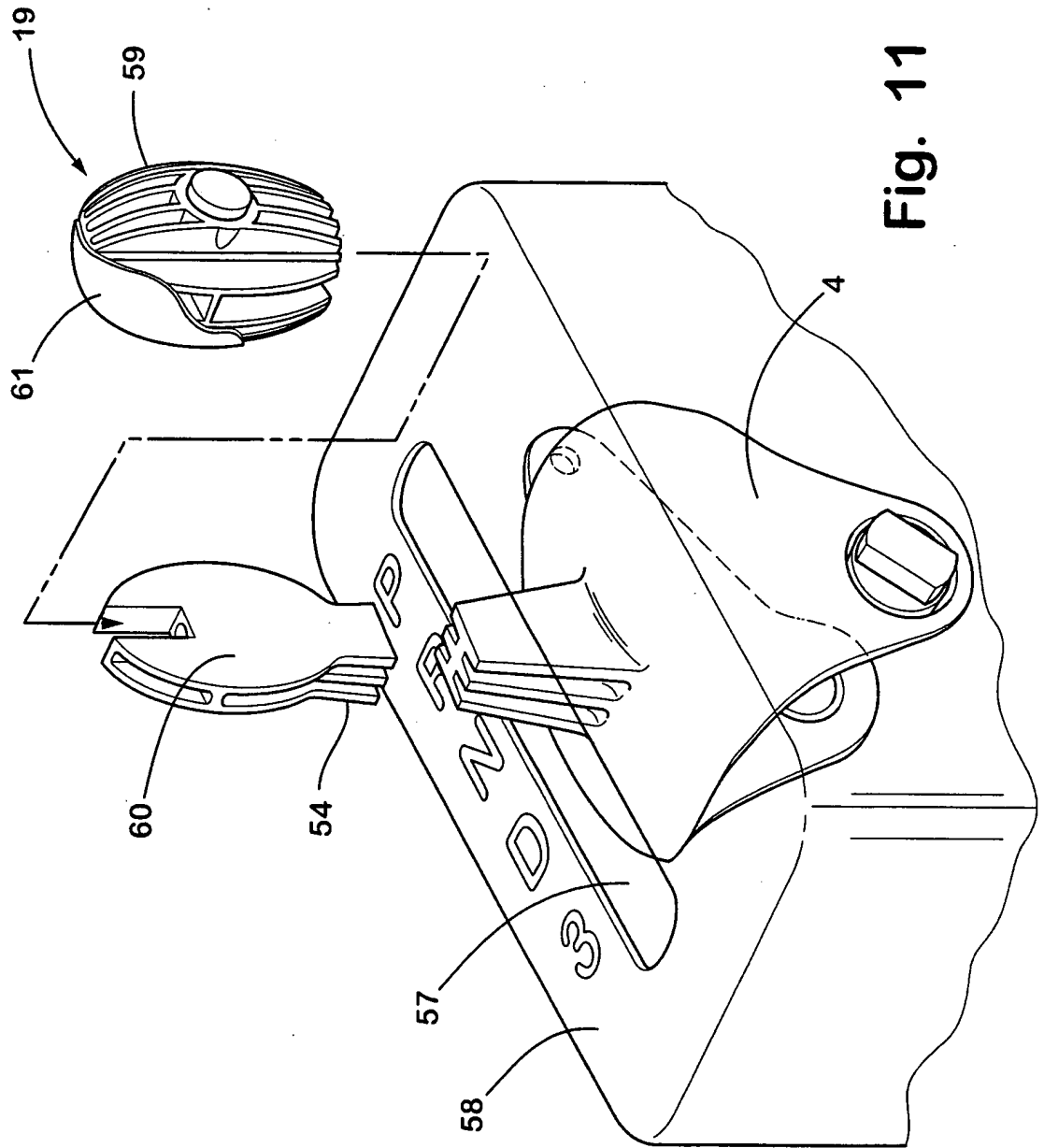


Fig. 10



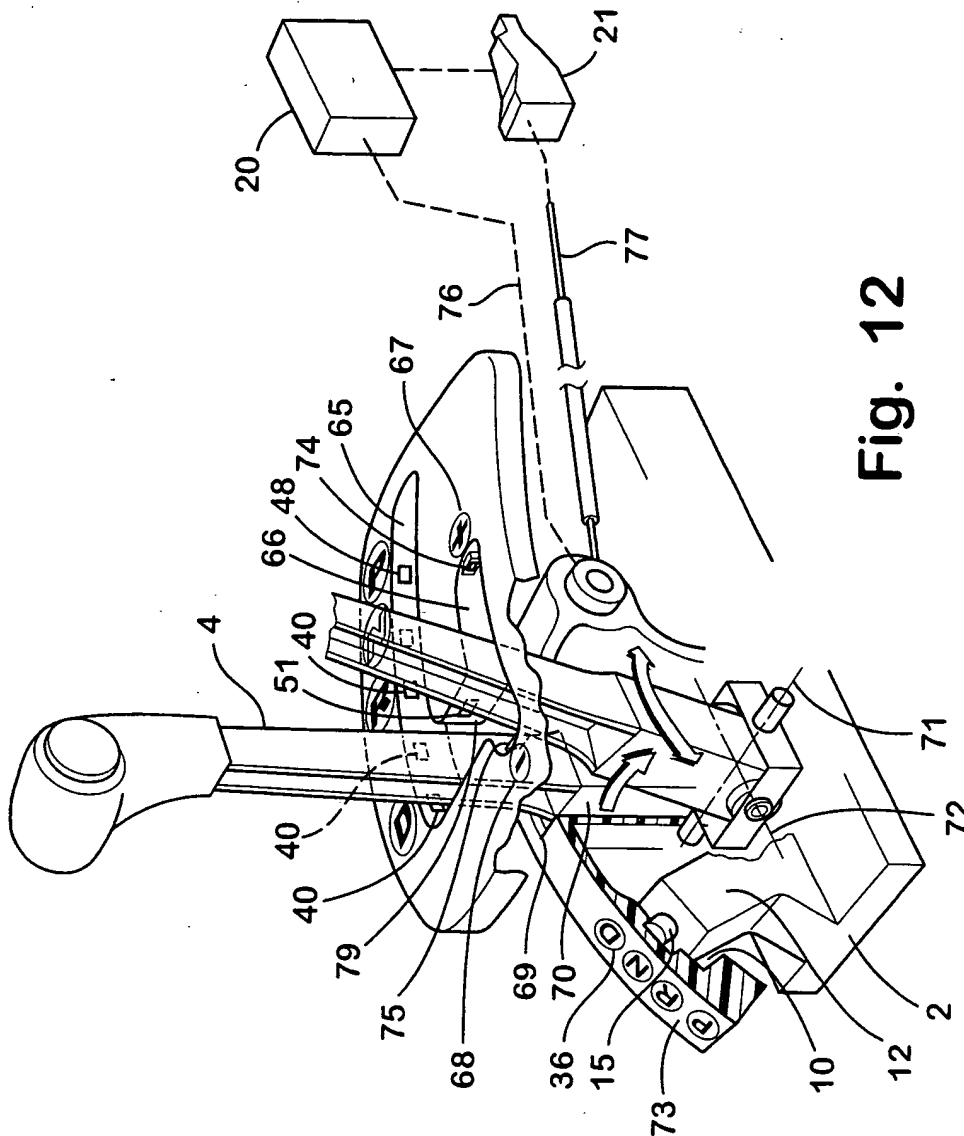


Fig. 12

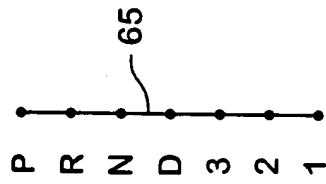


Fig. 13

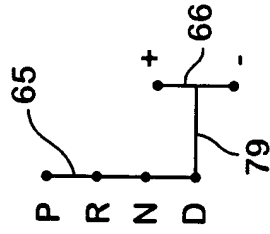


Fig. 14

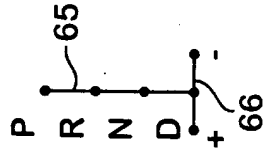


Fig. 15

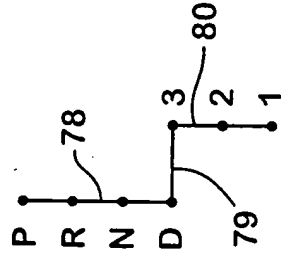


Fig. 16

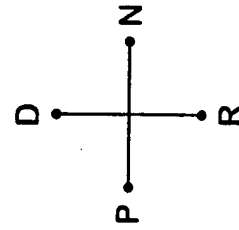


Fig. 16A

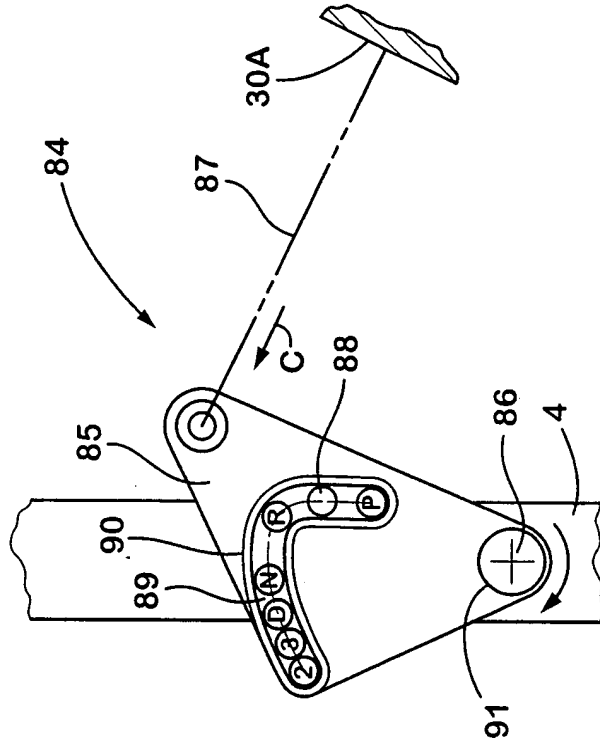


Fig. 17

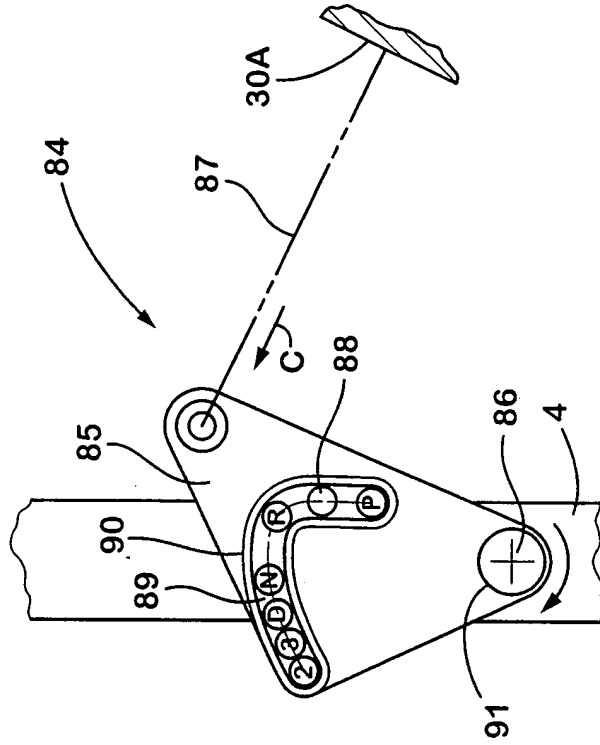


Fig. 18

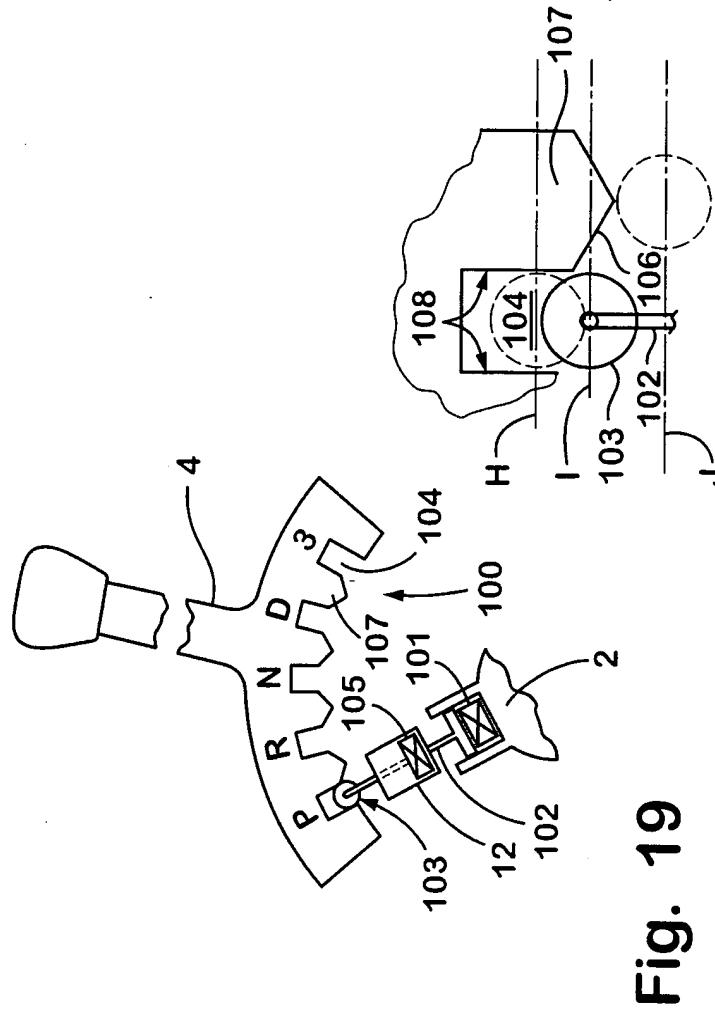
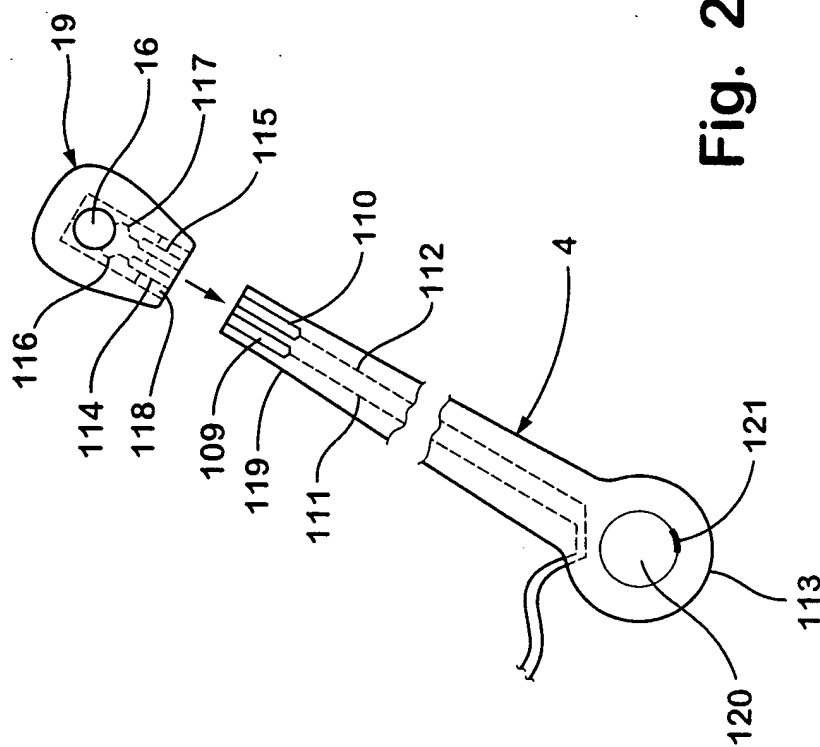
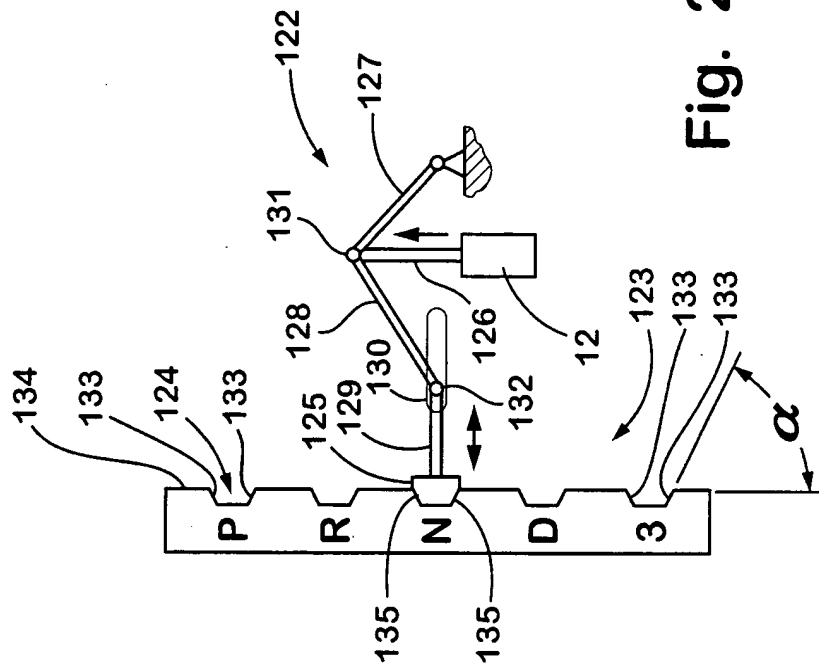


Fig. 19

Fig. 20





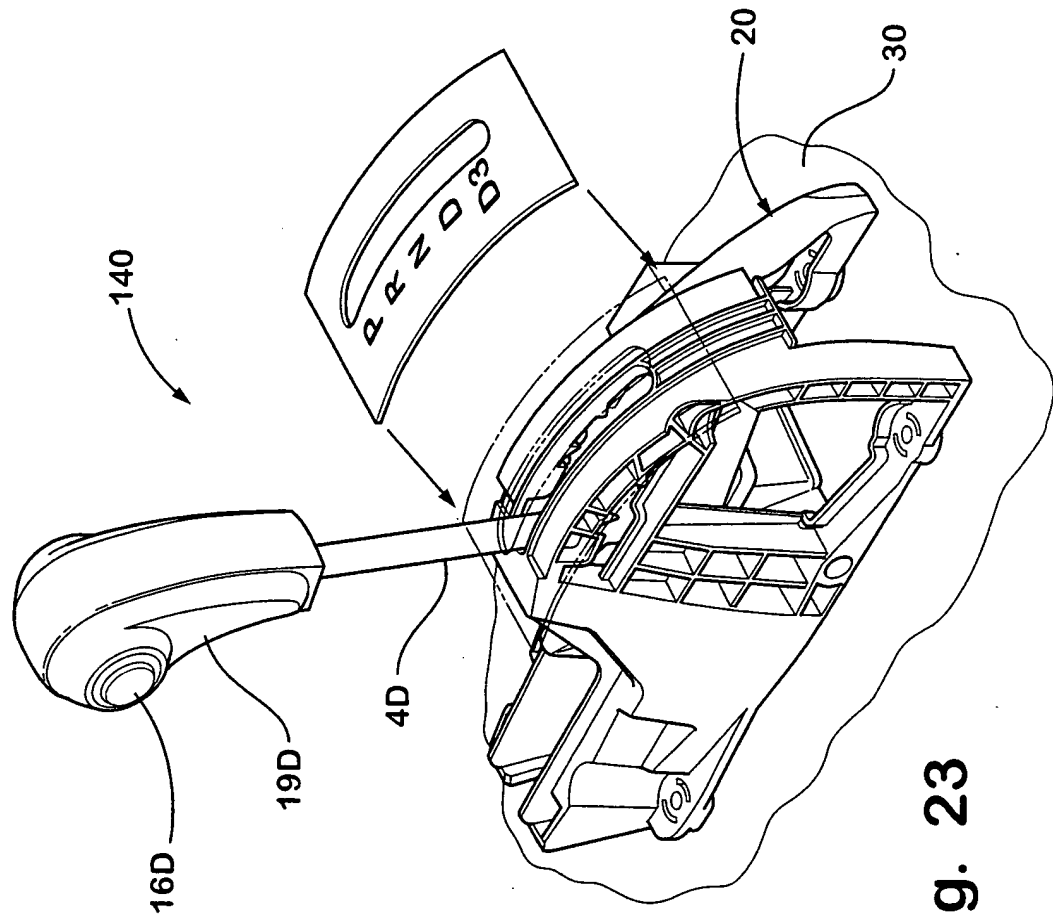


Fig. 23

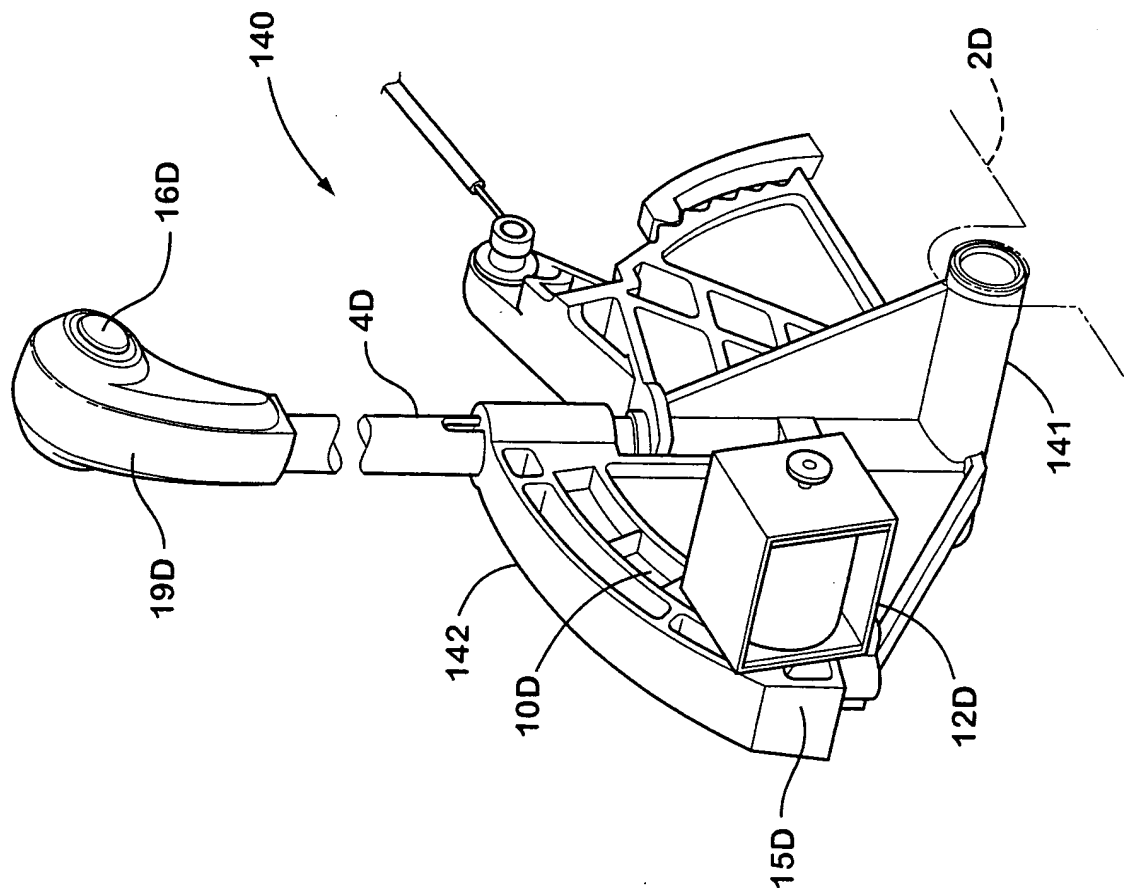
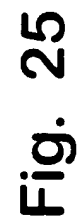
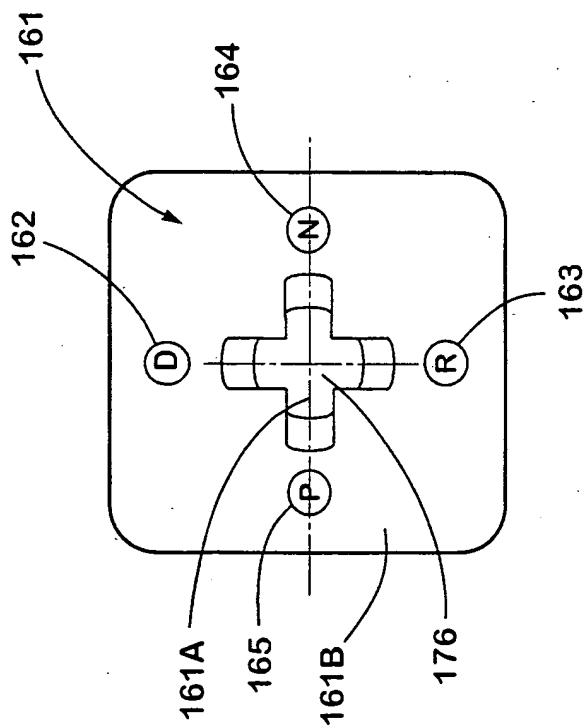
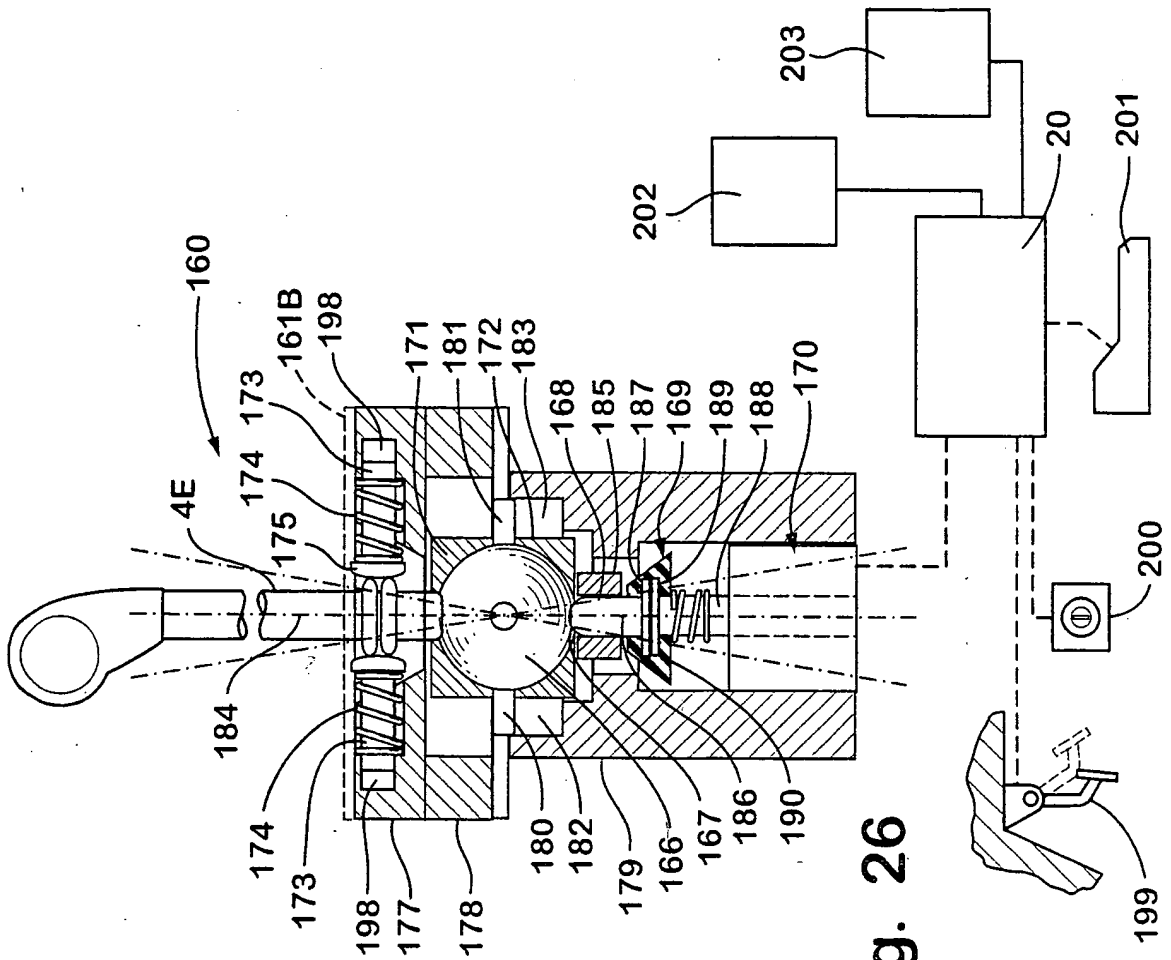


Fig. 24





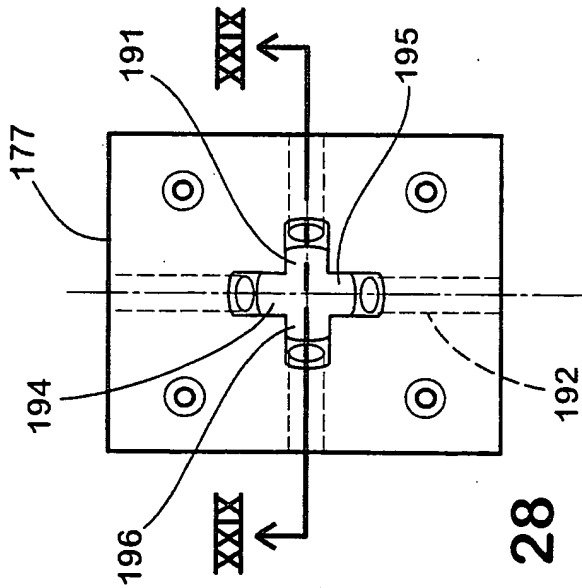


Fig. 28

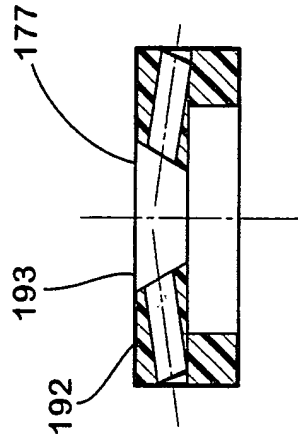


Fig. 29

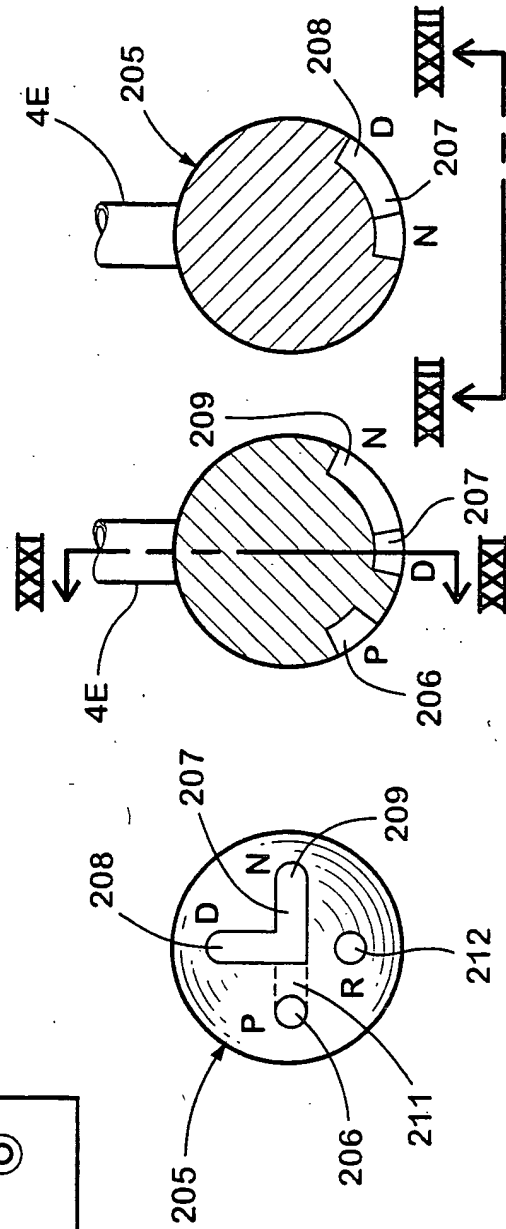


Fig. 30

Fig. 31

Fig. 32

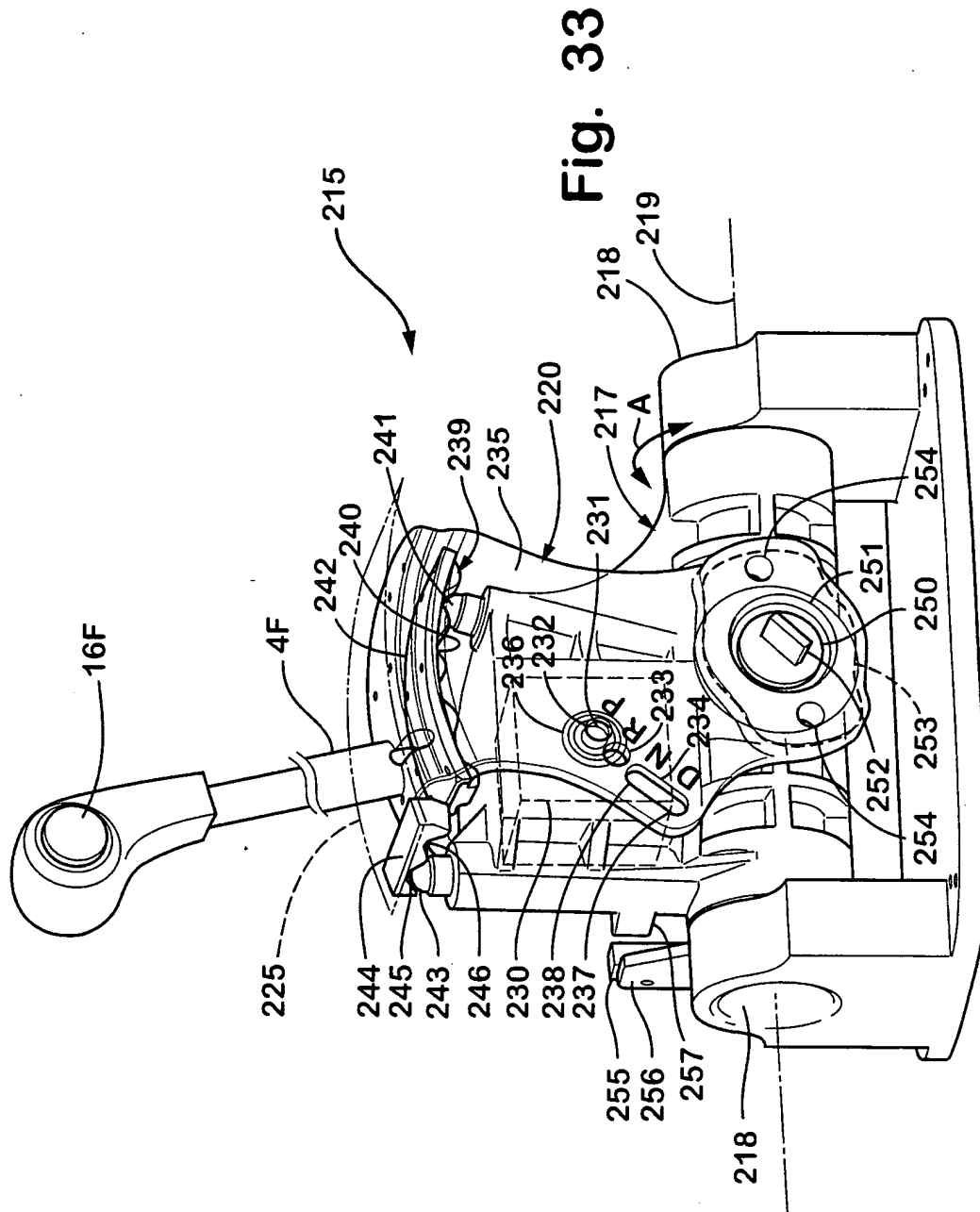


Fig. 34

